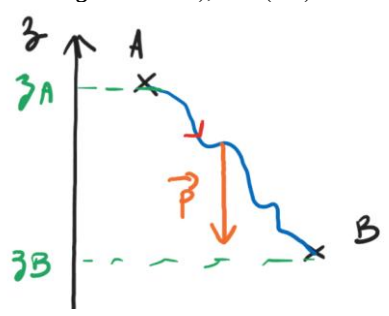
# TD Physique n°5: Approche énergétique du mouvement d'un point matériel - Correction

### Application n°1: Travail de forces conservative usuelles

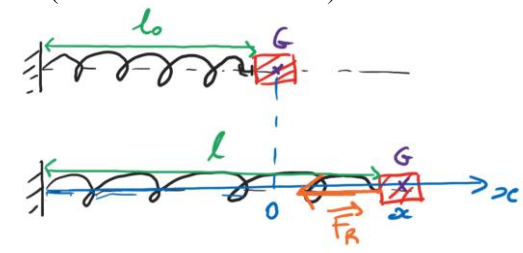
1. Travail du poids (dans un champ de pesanteur  $\vec{g}$  uniforme), axe (Oz) vertical orienté vers le haut :



$$\delta W = \vec{P} \cdot \overrightarrow{dOM} = P_x dx + P_y dy + P_z dz = P_z dz = -mg dz$$

$$\Rightarrow W = \int \delta W = \int_{z_A}^{z_B} -mg dz = -mg \times (z_B - z_A) = mg \times (z_A - z_B)$$

**2.** Travail de la force de rappel d'un ressort (de constante de raideur *k*) :



$$\delta W = \overrightarrow{F_R} \cdot \overrightarrow{dOM} = F_{Rx} dx + F_{Ry} dy + F_{Rz} dz = F_{Rx} dx = -k \big(\ell - \ell_{eq}\big) dx = -kx dx$$

$$\Rightarrow W = \int \delta W = \int_{Z_A}^{z_B} -kx dx = -\frac{1}{2}k(x_B^2 - x_A^2) = \frac{1}{2}k(x_A^2 - x_B^2)$$

### Application n°2: Distance de freinage

1. 
$$W(\vec{F}) = \vec{F} \cdot \overrightarrow{AB} = -F \times (x_f - x_0) = -Fd$$

2. **Référentiel** : terrestre (galiléen)

**Système**: {voiture} assimilé à un point matériel de masse *m* 

Forces extérieures :  $\vec{P}$ ,  $\vec{N}$ ,  $\vec{F}$ 

TEC: 
$$\Delta E_c = \sum_i W(\vec{F}_i) = W(\vec{F}) + W(\vec{P}) + W(\vec{N})$$

avec  $W(\vec{P}) = W(\vec{N}) = 0$ ,  $\vec{P}$  et  $\vec{N}$  étant perpendiculaire au mouvement

$$\Rightarrow \Delta E_c = W(\vec{F}) \Rightarrow E_{cf} - E_{ci} = -Fd$$
 avec  $E_{cf} = 0$ , la vitesse finale étant nulle

$$\Rightarrow -\frac{1}{2}mv_i^2 = -Fd \Rightarrow \mathbf{F} = \frac{mv_i^2}{2d}$$
 AN:  $\mathbf{F} = \mathbf{9}, \mathbf{7} \ kN$ 

### Application n°3: Energies potentielles de pesanteur et élastique

1. Avec le schéma de l'Application n°1 question 1 :

Avec un axe (Oz) vertical orienté vers le haut :

$$\vec{P} = -\frac{dE_{pp}}{dz} \overrightarrow{u_z} \Longrightarrow -mg\overrightarrow{u_z} = -\frac{dE_{pp}}{dz} \overrightarrow{u_z} \Longrightarrow \frac{dE_{pp}}{dz} = mg \Longrightarrow \pmb{E_{pp}} = \pmb{mgz} + \pmb{cste}$$
 Généralement, on prend  $E_{pp}(z=0) = 0 \Longrightarrow \pmb{E_{pp}} = \pmb{mgz}$ 

Avec le schéma de l'Application n°1 question 2

$$\overrightarrow{F_R} = -\frac{dE_{pe}}{dx}\overrightarrow{u_x} \Longrightarrow -kx\overrightarrow{u_x} = -\frac{dE_{pe}}{dx}\overrightarrow{u_x} \Longrightarrow \frac{dE_{pe}}{dx} = kx \Longrightarrow E_{pe} = \frac{1}{2}kx^2 + cste$$

$$\Longrightarrow E_{pe} = \frac{1}{2}k(\ell - \ell_0)^2 + cste$$

Généralement, on prend  $E_{ne}(\ell = \ell_0) = 0 \Rightarrow E_{ne} = \frac{1}{2}k(\ell - \ell_0)^2$ 

# Application n°4: Toboggan

1. **Référentiel** : terrestre (galiléen)

Système : {adulte} assimilé à un point matériel de masse m

Forces extérieures :  $\vec{P}$ : conservative

 $\vec{N}$ : ne travaille pas (perpendiculaire au mouvement)

$$\mathbf{TEM} : \Delta E_m = \sum_i W(\overrightarrow{F_{nci}}) = 0$$

$$\Rightarrow E_{mi} = E_{mf} \Rightarrow E_{ci} + E_{pi} = E_{cf} + E_{pf} \Rightarrow \frac{1}{2} m v_i^2 + m g z_i = \frac{1}{2} m v_f^2 + m g z_f$$

$$\Rightarrow \frac{1}{2} m v_f^2 = m g \times (z_i - z_f) \text{ car } v_i = 0$$

$$\Rightarrow v_f = \sqrt{2g(z_i - z_f)} = \sqrt{2gh} \qquad \text{AN} : v_f = 9, 9 \text{ m} \cdot s^{-1}$$

En présence de la force de frottement, une force non conservative :  $\Delta E_m = W(\vec{T})$ 

$$W(\vec{T}) = -T \times AB = -T \times \frac{h}{\sin(\alpha)} = -\frac{fRh}{\sin(\alpha)}$$

$$W(T) = -T \times AB = -T \times \frac{\sin(\alpha)}{\sin(\alpha)} = -\frac{1}{2}$$

Expression de R:

En projetant les forces sur l'axe (Oy) :  $R - mgcos(\alpha) = 0 \Rightarrow R = mgcos(\alpha)$ 

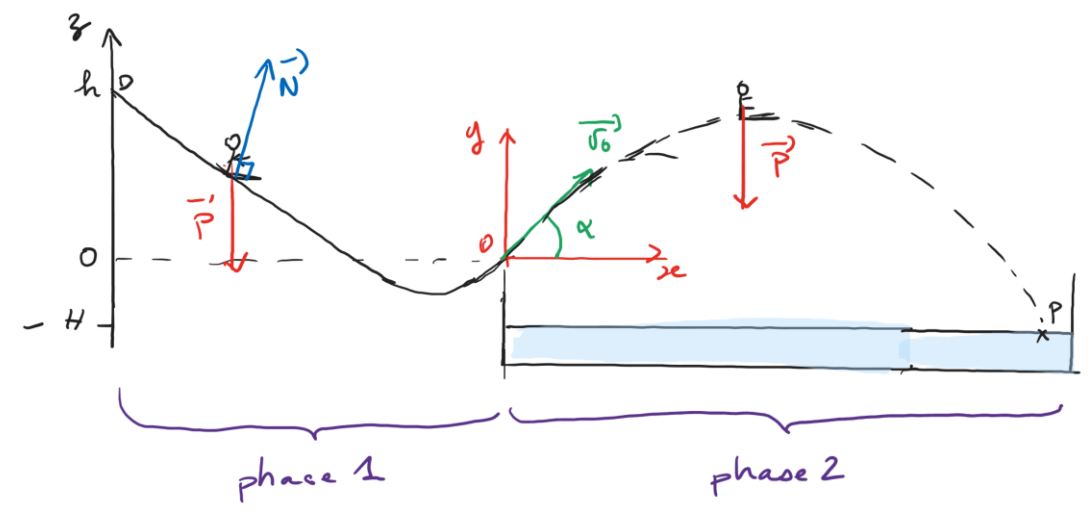
$$\Rightarrow W(\vec{T}) = -\frac{fRh}{\sin(\alpha)} = -\frac{fhmgcos(\alpha)}{\sin(\alpha)} = -\frac{mghf}{\tan(\alpha)}$$

$$\Delta E_{m} = \left(\frac{1}{2}mv_{f}^{2} + mgz_{f}\right) - \left(\frac{1}{2}mv_{i}^{2} + mgz_{i}\right) = \frac{1}{2}mv_{f}^{2} + mg \times (z_{f} - z_{i})$$

$$\Rightarrow \frac{1}{2}mv_f^2 + mg \times (z_f - z_i) = -\frac{mghf}{\tan(\alpha)} \Rightarrow v_f = \sqrt{2 \times \left(gh - \frac{ghf}{\tan(\alpha)}\right)} = \sqrt{2gh \times \left(1 - \frac{f}{\tan(\alpha)}\right)}$$

$$\mathrm{AN}: v_f = 7,7 \ m \cdot s^{-1}$$

#### Exercice 1 (BCPST1+2) \*: Etude du mouvement d'un enfant sur un toboggan



Référentiel: terrestre supposé galiléen

Système : enfant assimilé à un point matériel de masse m

### Phase 1 : Glissement sur le toboggan : recherche de la vitesse $v_0$ de sortie du toboggan

Hypothèses : forces de frottement solide et fluide (avec l'air) négligées : obtiendra alors la vitesse maximale de sortie Forces extérieures :  $\vec{P}$ ,  $\vec{N}$ 

TEM: 
$$\Delta E_m = \sum_i W(\overrightarrow{F_{nci}})$$

 $\vec{P}$  est conservative et  $\vec{N}$  ne travaille pas, le système est donc conservatif :  $\Delta E_m = 0$ 

$$\Rightarrow E_m(z=0) = E_m(z=h) \Rightarrow E_c(z=0) + E_{pp}(z=0) = E_c(z=h) + E_{pp}(z=h)$$

En considérant que l'enfant s'élance sans vitesse initiale et en prenant un axe (Oz) verticale orienté vers le haut : 
$$\Rightarrow 0 + mgh = \frac{1}{2}mv_0^2 + 0 \Rightarrow v_0 = \sqrt{2gh}$$
 AN :  $v_0 = 10 \ m \cdot s^{-1}$ 

### Phase 2 : Chute libre hors du toboggan : recherche de l'abscisse du point du chute

Hypothèses : forces de frottement fluide (avec l'air) négligées : obtiendra alors l'abscisse maximale du point de chute Forces extérieures :  $\vec{P}$ 

$$PFD: m\vec{a} = \vec{P}$$

Repère (O,x,y) avec origine O en sortie de toboggan et axe (Oy) vertical ascendant. L'enfant sort du toboggan avec la vitesse  $v_0$  et un angle  $\alpha$  avec la verticale

La projection du PFD donne : sur l'axe (Oy):  $m\ddot{y} = -mg \implies \ddot{y} = -g$ sur l'axe (Ox) :  $m\ddot{x} = 0$ 

ce qui donne par intégration :  $\dot{y} = -gt + v_0 \sin \alpha$  $\dot{x} = v_0 \cos \alpha$ 

ce qui donne par nouvelle intégration :  $y = -\frac{1}{2}gt^2 + v_0 sin\alpha t$   $x = v_0 cos\alpha t$ 

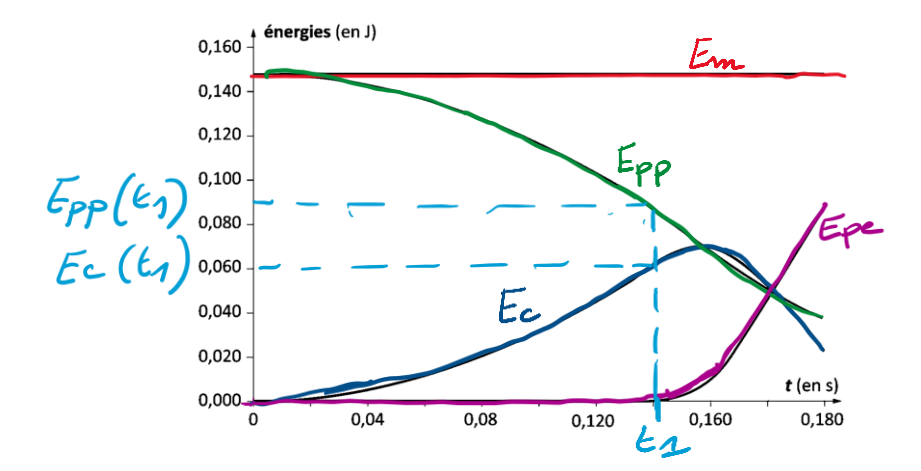
 $y_P = -H = -\frac{1}{2}gt_{sol}^2 + v_0 sin\alpha t_{sol} \Rightarrow \frac{1}{2}gt_{sol}^2 - v_0 sin\alpha t_{sol} - H = 0$ Au point P:

La résolution de l'équation du 2ne degré donne :  $t_{sol} = \frac{v_0 sin\alpha + \sqrt{(v_0 sin\alpha)^2 + 2gH}}{c}$ 

L'abscisse vaut alors :  $x_P = x(t=t_{sol}) = v_0 cos \alpha t_{sol} = v_0 cos \alpha \times \frac{v_0 sin \alpha + \sqrt{(v_0 sin \alpha)^2 + 2gH}}{c}$ avec  $v_0 = \sqrt{2gh}$ qui est une approximation, les frottements (solide et liquide) ayant été négligés

# Exercice n°2 : Saut à l'élastique

1



 $E_c = \frac{1}{2}mv^2 : v \nearrow$ , donc  $E_c \nearrow$ , en début de mouvement puis  $v \searrow$ , donc  $E_c \searrow$ , à partir du rappel de l'élastique  $E_{pp} = mgz$  (axe (Oz) orienté vers le haut) :  $E_{pp} \searrow$  au cours du mouvement  $E_{pe} = \frac{1}{2}k(\ell-\ell_0)^2$  : existe à partir du moment où l'élastique devient tendu de longueur égal à  $\ell_0$ , puis  $\nearrow$   $E_m = E_c + E_{pp} + E_{pe} = cste$  en absence de frottements (mouvement conservatif :  $\vec{P}$  et  $\overrightarrow{F_R}$  sont deux forces conservatives)

- 2. La chute libre se termine lorsque l'énergie potentielle élastique devient non nulle, donc, par lecture graphique à :  $t_1=0.140~s$  Par correspondance graphique, on lit à cette date  $t_1: E_{pp}(t=t_1)=0.090~J$ . Or  $E_{pp}=mgz \Rightarrow z_1=\frac{E_{pp}(t=t_1)}{mg}=0.141~m$  Initialement :  $E_m=E_m(t=0)=E_{pp}(t=0)=mgz_0 \Rightarrow z_0=\frac{E_m}{mg}=0.235~m$  La hauteur de chute vaut donc :  $h_0=z_0-z_1=0.094~m=9.4~cm$
- 3. Par correspondance graphique, on lit à la date  $t_1: E_c(t=t_1)=0.060$  J. Or  $E_c=\frac{1}{2}mv^2 \Rightarrow v_1=\sqrt{\frac{2E_c(t=t_1)}{m}}=1.26$   $m\cdot s^{-1}$
- **4.**  $W(\overrightarrow{F_R}) = -\Delta E_{pe} = -\frac{1}{2}k(\ell_{max} \ell_0)^2 = -\frac{1}{2}k(z_{max} z_1)^2$

Référentiel: terrestre supposé galiléen

**Système** : solide de masse m assimilé à un point matériel

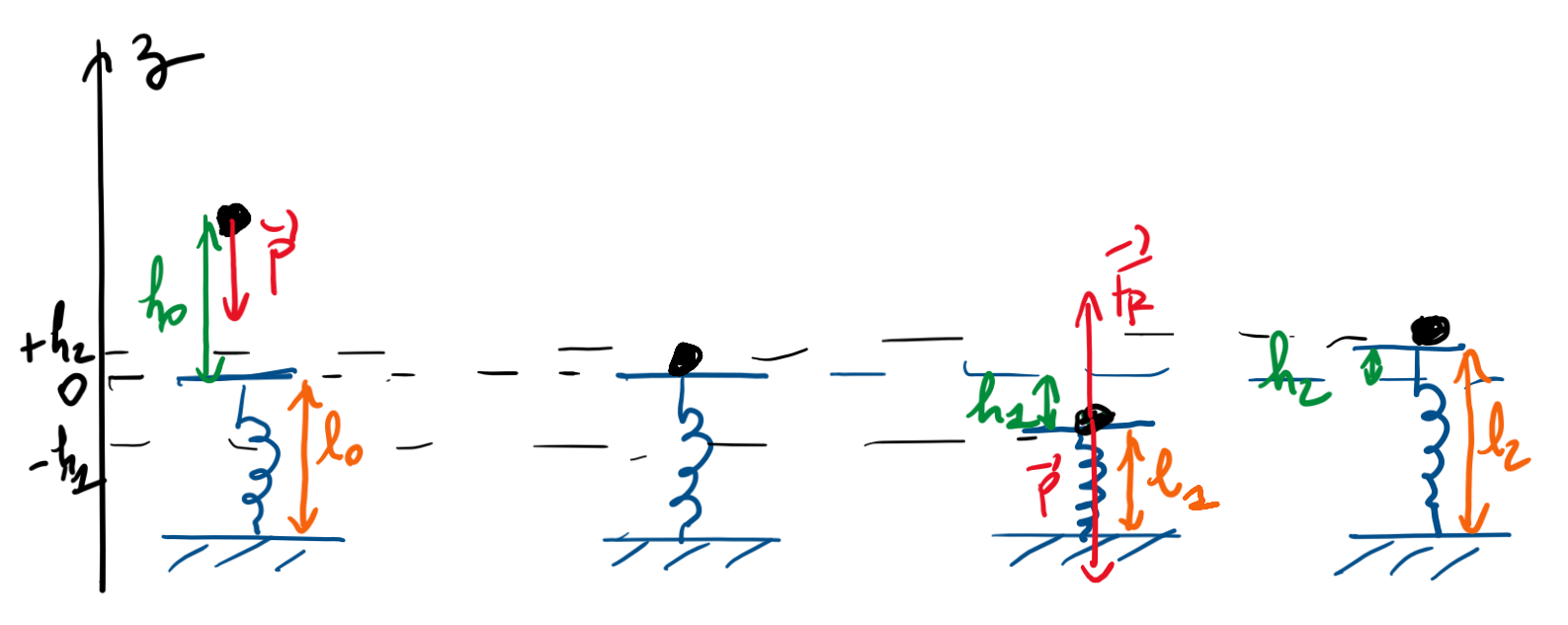
Forces extérieures :  $\vec{P}$ ,  $\vec{F_R}$ 

TEC: 
$$\Delta E_c = \sum_i W(\vec{F_i}) = W(\vec{F_R}) + W(\vec{P})$$
  
 $\Rightarrow \frac{1}{2} m v_{max}^2 - \frac{1}{2} m v_1^2 = -\frac{1}{2} k (z_{max} - z_1)^2 - mg \times (z_1 - z_{max}) = -\frac{1}{2} k h_1^2 + mg h_1 \quad \text{avec } h_1 = z_{max} - z_1$   
Or  $v_{max} = 0 \Rightarrow -\frac{1}{2} m v_1^2 = -\frac{1}{2} k h_1^2 + mg h_1 \Rightarrow \frac{1}{2} k h_1^2 - mg h_1 - \frac{1}{2} m v_1^2 = 0$ 

$$h_1 = \frac{mg + \sqrt{(mg)^2 + 4 \times \frac{1}{2}k \times \frac{1}{2}m}}{k}$$

5.  $H = z_1 + h_1$ . AN: H = 0, 182 m

#### Exercice 3 : Théorème de l'énergie mécanique et ressort



1. **Référentiel** : terrestre supposé galiléen

**Système :** boule de pa^te assimilé à un point matériel M de masse *m* **Hypothèses :** forces de frottement solide et fluide (avec l'air) négligées

<u>Phase de chute libre</u>: A = point initial B = point où la boule entre en contact avec le plateau

Forces extérieures :  $\vec{P}$  : force conservative

TEM : 
$$\Delta E_m = \sum_i W(\overrightarrow{F_{nci}}) = \mathbf{0} \Longrightarrow E_m(B) = E_m(A)$$

<u>Phase où le plateau s'affaisse</u>: B = point initial  $C = point où le plateau s'est affaissé de la hauteur <math>h_1$ 

**Forces extérieures :**  $\vec{P}$  : force conservative  $\vec{F}_R$  : force de rappel du ressort = force conservative

TEM : 
$$\Delta E_m = \sum_i W(\overrightarrow{F_{nci}}) = 0 \Longrightarrow E_m(B) = E_m(C)$$

Conclusion:  $E_m(A) = E_m(C)$ 

$$\Rightarrow E_c(A) + E_{pp}(A) = E_c(C) + E_{pp}(C) + E_{pe}(C)$$

$$\Rightarrow \frac{1}{2}mv_A^2 + mgh_0 = \frac{1}{2}mv_C^2 + mg(-h_1) + \frac{1}{2}k \times (\ell_1 - \ell_0)^2$$

$$\text{avec } v_A = v_C = 0 \text{ et } \ell_1 - \ell_0 = h_1$$

$$\Rightarrow \frac{1}{2}kh_1^2 - mgh_1 - mgh_0 = 0 \qquad \text{la résolution de l'équation du } 2^{\text{nd}} \text{ degré donne : } h_1 = 6,8 \text{ cm}$$

2. Par un raisonnement identique à la question précédente mais entre les points A et D, où D correspond au point de hauteur maximale h<sub>2</sub> atteinte par la boule :

$$E_m(A) = E_m(D) \Rightarrow mgh_0 = mgh_2 + \frac{1}{2}kh_2^2 \Rightarrow \frac{1}{2}kh_2^2 + mgh_2 - mgh_0 = 0$$

la résolution de l'équation du  $2^{nd}$  degré donne :  $h_2 = 5,8$  cm

- 3.  $h_2 < h_1$  car le point O n'est pas la position d'équilibre de la boule (à cause de la gravité)
- 4. Principe d'inertie : à l'équilibre :  $\vec{P} + \overrightarrow{F_R} = \vec{0} \Longrightarrow -mg k \times (\ell_e \ell_0) = 0 \Longrightarrow -mg k \times (-h_e) = 0$   $\Longrightarrow h_e = \frac{mg}{k}$  AN :  $h_e = 4.9 \ mm$

#### Exercice 4: Glissement et frottement sur la glace

Référentiel: terrestre supposé galiléen

Système : palet assimilé à un point matériel de masse m

Hypothèses: forces de frottement solide et fluide (avec l'air) négligées

Forces extérieures :  $\vec{P}$ ,  $\overrightarrow{R_N}$ ,  $\vec{F}$ durant la phase de propulsion

2. Principe fondamentale de la dynamique :  $m\vec{a} = m\frac{d\vec{v}}{dt} = \vec{P} + \overrightarrow{R_N} + \vec{F}$ 

En projection sur l'axe (Ox) :  $m\ddot{x} = ma = -mgsin\alpha + F \Rightarrow F = ma + mgsin\alpha$ 3. Mouvement uniformément accéléré  $\Rightarrow a = \frac{dv}{dt} = cste \Rightarrow v = at \Rightarrow a = \frac{v}{t}$ 

(vitesse nulle initialement)

$$\Rightarrow F = m \frac{v}{t} + mg sin \alpha$$

AN: 
$$\mathbf{F} = 0.160 \times \frac{50}{0.5} + 0.160 \times 10 \times sin(20) = \mathbf{16}, \mathbf{5} \, \mathbf{N}$$

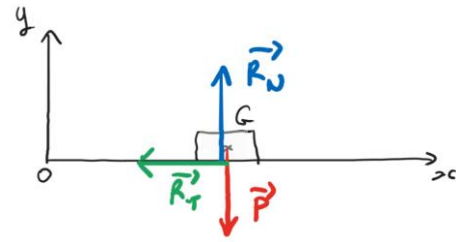
- **4.** Si le palet n'est plus en contact avec la crosse, alors le PFD devient :  $m\vec{a} = \vec{P} + \overrightarrow{R_N}$ En projection sur l'axe (Ox):  $m\ddot{x} = ma = -mgsin\alpha \Rightarrow \dot{x} = -gsin\alpha t + v_0 \Rightarrow x = -\frac{1}{2}gsin\alpha t^2 + v_0 t$ , les conditions initiales étant  $\dot{x}(t=0) = v_0$  et x(t=0) = 0
- Lorsque le palet s'arrête à la date  $t_a$ :  $\dot{x}(t=t_a)=0 \Rightarrow -g\sin\alpha t_a + v_0 = 0 \Rightarrow t_a = \frac{v_0}{a\sin\alpha}$ Le palet a parcouru la distance :  $d = x(t = t_a) = -\frac{1}{2}g\sin\alpha t_a^2 + v_0t_a = -\frac{1}{2}g\sin\alpha \left(\frac{v_0}{a\sin\alpha}\right)^2 + v_0\frac{v_0}{a\sin\alpha} = \frac{v_0^2}{a\sin\alpha}$
- L'énoncé devrait préciser qu'il est attendu l'expression du travail de de la composante tangentielle  $\overrightarrow{R_T}$  en fonction de

En considérant que le palet se déplace sur une distante d':

$$W(\overrightarrow{R_T}) = \int_0^{d'} \overrightarrow{R_T} \cdot \overrightarrow{d\ell} = \int_0^{d'} -R_T dx = -R_T d'$$

Pour cette phase, le principe fondamental de la dynamique s'écrit :  $m\vec{a} = \vec{P}$  +

En projection sur l'axe (Oy):  $0 = -mg + R_N + 0 \Rightarrow R_N = mg \Rightarrow R_T =$  $f_D R_N = f_D mg$ 



Donc: 
$$W(\overrightarrow{R_T}) = -f_D mgd'$$

7. TEC:  $\Delta E_c = \sum_i W(\overrightarrow{F_i}) = W(\overrightarrow{P}) + W(\overrightarrow{R_N}) + W(\overrightarrow{R_T}) = W(\overrightarrow{R_T})$  car  $\overrightarrow{P}$  et  $\overrightarrow{R_N}$  ne travaillent pas (droite d'action perpendiculaire au mouvement)

Remarque: on pourrait aussi utiliser le TEM

On obtient alors : 
$$\frac{1}{2}mv'^2 - \frac{1}{2}mv_0^2 = -f_D mgd'$$

avec v' = 0 (arrêt du palet)

Finalement: 
$$-\frac{1}{2}mv_0^2 = -f_D mgd' \Rightarrow d' = \frac{v_0^2}{2gf_D}$$
 AN:  $d' = \frac{50^2}{2 \times 10 \times 0.050} = 2500 m$ 

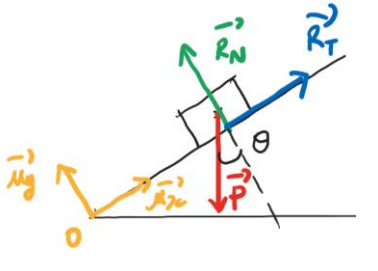
$$AN: d' = \frac{50^2}{2 \times 10 \times 0.050} = 2500 \ m$$

8. A l'équilibre :  $\vec{P} + \overrightarrow{R_N} + \overrightarrow{R_T} = \vec{0}$ 

En projection sur l'axe (Ox) :  $-mgsin\theta + R_T = 0$ 

En projection sur l'axe (Oy) :  $-mgcos\theta + R_N = 0$ 

Or  $R_T \le f_S R_N \Longrightarrow mgsin\theta \le f_S mgcos\theta \Longrightarrow tan\theta \le f_S$ : il y a alors glissement dès que  $tan\theta_{lim} = f_S$ 



9. AN:  $f_S = 0,57$ 

# Exercice 6: Etude d'un oscillateur (1)

. **Référentiel :** terrestre supposé galiléen **Système :** point matériel M de masse *m* 

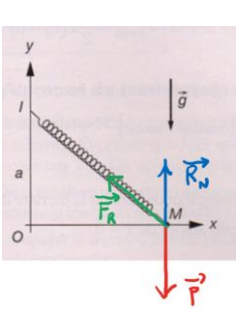
Hypothèses: forces de frottement solide et fluide (avec l'air) négligées

Forces extérieures :  $\vec{P}$ : perpendiculaire au mouvement donc ne travaille pas

 $\overrightarrow{F_R}$ : force de rappel élastique = force conservative

 $\overrightarrow{R_N}$ : perpendiculaire au mouvement donc ne travaille pas

TEM :  $\Delta E_m = \sum_i W(\overrightarrow{F_{nct}}) = 0 \Longrightarrow l$ 'énergie mécanique du point M se conserve



2.  $E_p = \frac{1}{2}k(\ell - \ell_0)^2$  (à une constante près) avec  $\ell = \sqrt{a^2 + x^2}$  (IOM est un triangle rectangle en O)

$$E_p = \frac{1}{2}k(\sqrt{a^2 + x^2} - \ell_0)^2 = \frac{1}{2}k(a^2 + x^2 - 2\ell_0\sqrt{a^2 + x^2} + {\ell_0}^2) = \frac{1}{2}kx^2 - k\ell_0(a^2 + x^2)^{\frac{1}{2}}$$
 à une constante près

3. Recherche des positions d'équilibre :  $\frac{dE_p}{dx} = 0$ 

$$\Rightarrow kx - \frac{1}{2}k\ell_0 \times 2x \times (a^2 + x^2)^{-\frac{1}{2}} = 0 \Rightarrow x - \ell_0 \times x \times \frac{1}{\sqrt{a^2 + x^2}} = 0 \Rightarrow x \left(1 - \ell_0 \times \frac{1}{\sqrt{a^2 + x^2}}\right) = 0$$

$$x = \mathbf{0} \quad \text{ou} \qquad 1 - \ell_0 \times \frac{1}{\sqrt{a^2 + x^2}} = 0 \Rightarrow \ell_0 \times \frac{1}{\sqrt{a^2 + x^2}} = 1 \Rightarrow \sqrt{a^2 + x^2} = \ell_0 \Rightarrow a^2 + x^2 = \ell_0^2 \Rightarrow x^2 = \ell_0^2 - a^2$$
Si  $\mathbf{a} < \ell_0 : x = \pm \sqrt{\ell_0^2 - a^2}$  Si  $\mathbf{a} > \ell_0 : \text{il n'y a pas d'autres solutions}$ 

Bilan : si  $a < \ell_0$ , il existe trois positions d'équilibre pour x = 0,  $x = \sqrt{{\ell_0}^2 - a^2}$  et  $x = -\sqrt{{\ell_0}^2 - a^2}$  si  $a > \ell_0$ , il existe une seule position d'équilibre x = 0

**4.** Les positions d'équilibre correspondent aux extrema de la courbe donnant l'énergie potentielle. La position d'équilibre est stable si  $\frac{d^2E_p}{dx^2} > 0$ , et instable si  $\frac{d^2E_p}{dx^2} < 0$ . Une position d'équilibre stable correspond donc à un minimum (local) d'énergie potentielle et une position d'équilibre instable à un maximum (local) d'énergie potentielle.

Courbe 1: 1 position d'équilibre (pour x = 0)

**Courbe 2**: 3 positions d'équilibre, 1 instable (pour x = 0), et deux stables (d'après la question précédente pour  $x = \sqrt{\ell_0^2 - a^2}$  et  $x = -\sqrt{\ell_0^2 - a^2}$ )

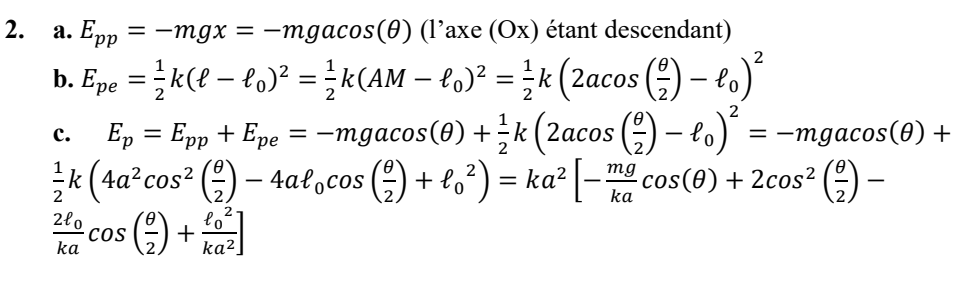
#### Exercice 6: Etude d'un oscillateur (2)

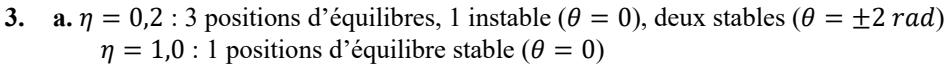
1. En absence de forces de frottement (hypothèse):

Poids  $\vec{P}$ : conservative, travaille

Force de rappel du ressort  $\overrightarrow{F_R}$ : conservative, travaille

Réaction du support  $\overrightarrow{R_N}$ : ne travaille pas (perpendiculaire au déplacement)

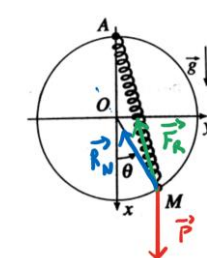


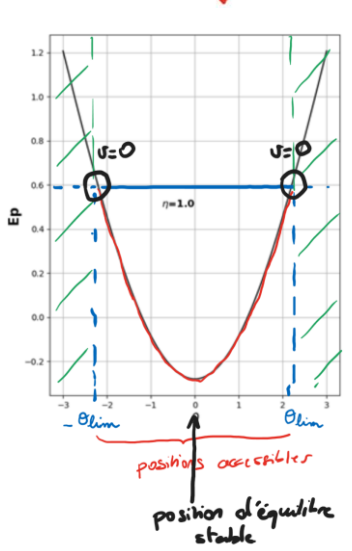


**b.** Dans le référentiel terrestre supposé galiléen, appliqué à la particule de masse m, le théorème de l'énergie mécanique donne :  $\Delta E_m = W(\overrightarrow{F_{nc}}) = 0$  si les forces de frottement sont négligées. Par conséquent :  $E_m = cste = 0, 6J$ .

Or 
$$E_m = E_c + E_p$$
 et  $E_c = \frac{1}{2}mv^2 \ge 0 \implies E_p \le E_m = 0.6 J$ : la **trajectoire** est

ici bornée, les positions accessibles sont comprises entre  $-\theta_{lim}$  et  $\theta_{lim}$ . Par ailleurs, lorsque  $E_p=E_m=0.6~J \Longrightarrow E_c=0 \Longrightarrow v=0$ : positions de vitesse nulle.





# Exercice 7: Inversion de la molécule d'ammoniac

1. 
$$E_p(z) = \beta \left( \frac{z^4}{4} - \frac{\alpha^2 z^2}{2} \right) \Longrightarrow F(z) = -\frac{dE_p(z)}{dz} = -\beta (z^3 - \alpha^2 z)$$

2. Positions d'équilibre :

$$\frac{dE_p(z_{eq})}{dz} = 0 \Rightarrow \beta(z_{eq}^3 - a^2 z_{eq}) = 0 \Rightarrow \beta z_{eq}(z_{eq}^2 - a^2) = 0$$
Il existe donc trois positions d'équilibre :  $\mathbf{z}_{eq1} = \mathbf{0}$   $\mathbf{z}_{eq2} = \mathbf{a}$   $\mathbf{z}_{eq3} = -\mathbf{a}$ 

Stabilité des positions d'équilibre :

$$\frac{d^2E_p(z)}{dz^2} = \beta(3z^2 - a^2)$$

$$\frac{d^2E_p(z_{eq1}=0)}{dz^2} = -\beta a^2 < 0 : \text{position d'équilibre instable} \qquad \text{maximum local d'énergie potentielle}$$

$$\frac{d^2E_p(z_{eq2}=a)}{dz^2} = \frac{d^2E_p(z_{eq3}=-a)}{dz^2} = 2\beta a^2 > 0 : \text{position d'équilibre stable} \qquad \text{minimum local d'énergie potentielle}$$

3. Dans le référentiel terrestre supposé galiléen, appliqué à l'atome d'azote, le théorème de l'énergie mécanique donne : ΔE<sub>m</sub> = 0 la seule force extérieure à considérer est la force électromagnétique conservative (car elle dérive d'une énergie potentielle). Par conséquent : E<sub>m</sub> = cste. Or E<sub>m</sub> = E<sub>c</sub> + E<sub>p</sub> et E<sub>c</sub> = ½ mv² ≥ 0 ⇒ E<sub>p</sub> ≤ E<sub>m</sub> = cste
Donc si E<sub>m</sub> = cste ∈ ] - E<sub>0</sub> ; 0[, la trajectoire est alors bornée, les positions accessibles sont comprises entre z₁ et z₂ (z étant

initialement positif):  $\underbrace{E_p}_{\text{positions}}_{\text{excessibles}}$